

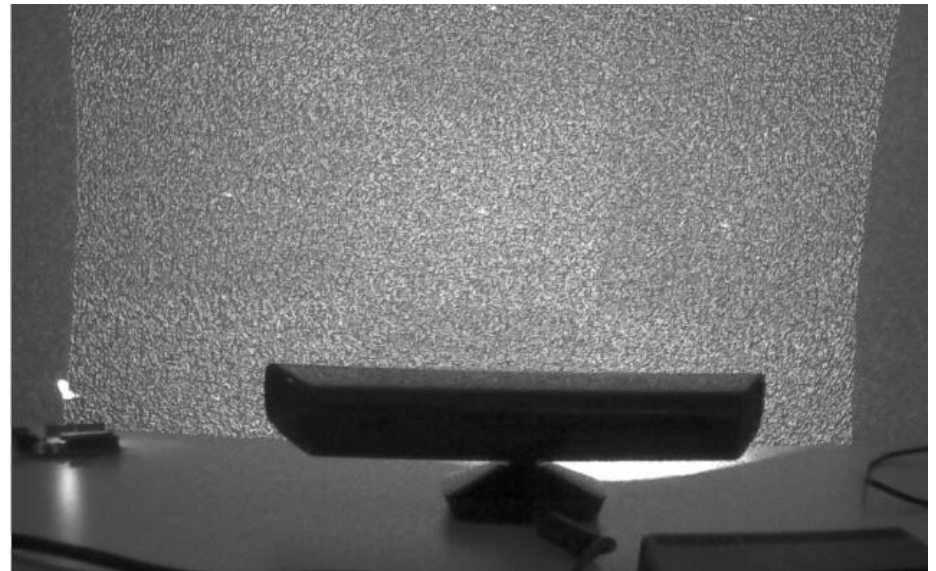
Advanced Robot Perception

Fortgeschrittene Konzepte der Wahrnehmung für
Robotersysteme

Georg von Wichert, Siemens Corporate Technology

Abstand: RGB-D Kameras

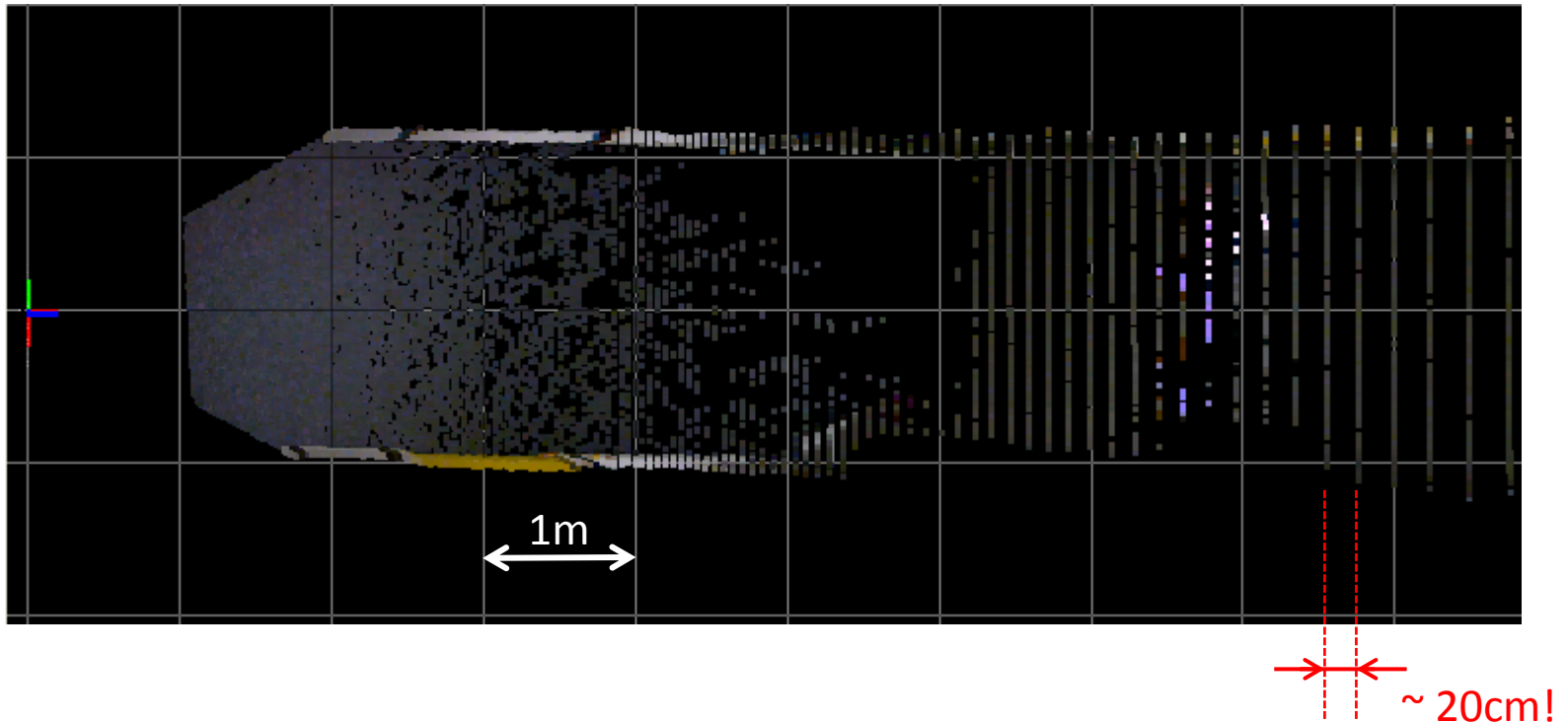
- Microsoft / Primesense
 - Infrarotprojektor
 - Infrarotkamera
 - Farbkamera
- Hohe Auflösung (640x480 -> 320x240)
- Bildfrequenz 30 Hz
- Reichweite: 0.8m bis etwa 4m
- gute Tiefendaten
- sehr winkeltreu
- Pixelgenaues Farbbild
- aber empfindlich gegen Fremdlicht (Sonne)
- Farbbild etwa wie bei billigen Webcams



Kodiertes Strukturmuster (Infrarot)

Abstand: RGB-D Kameras

- Mit dem Messabstand steigender Distanzfehler
 - Ähnliche Fehler machen alle Stereokameras
 - Kinect hat deutliches Diskretisierungsrauschen



Abstand: Laser 3D (ToF-) Kameras

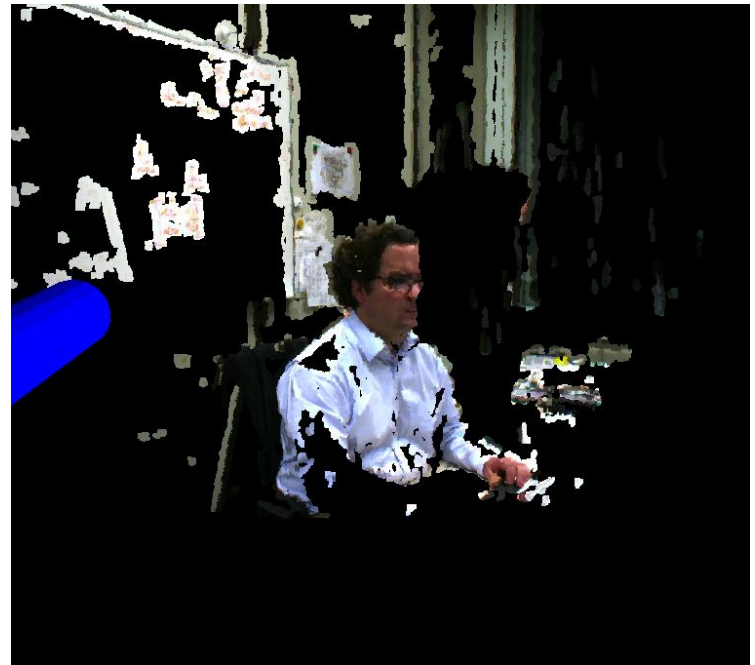
- Lichtlaufzeitmessung
 - Lichtpulse
- Auflösung typisch 200 x 200 Pixel
- Reichweite: wenige Meter
- Abstandsmessung stark vom Ziel anhängig
- Starke systematische Fehler insbesondere in Ecken (Mehrfachreflexion)
- Cross Talk bei mehreren Sensoren
- Empfindlich gegen Fremdlicht



Vergleich Kinect vs. ToF-Kamera

Abstand: Stereokameras

- Hohe Auflösung (Kameraabhängig)
- Korrespondenzsuche erfordert Struktur im Bild
- Keine 3D-Daten von homogenen Flächen



2D- UND 3D-GEOMETRIE

Geometrische Primitive in 2D

- 2D-Punkt

$$\mathbf{x} = \begin{pmatrix} x \\ y \end{pmatrix} \in \mathbb{R}^2$$

- Augmentierter Vektor

$$\bar{\mathbf{x}} = \begin{pmatrix} x \\ y \\ 1 \end{pmatrix} \in \mathbb{R}^3$$

- Homogene Koordinaten

$$\tilde{\mathbf{x}} = \begin{pmatrix} \tilde{x} \\ \tilde{y} \\ \tilde{w} \end{pmatrix} \in \mathbb{P}^2$$

Geometrische Primitive in 2D

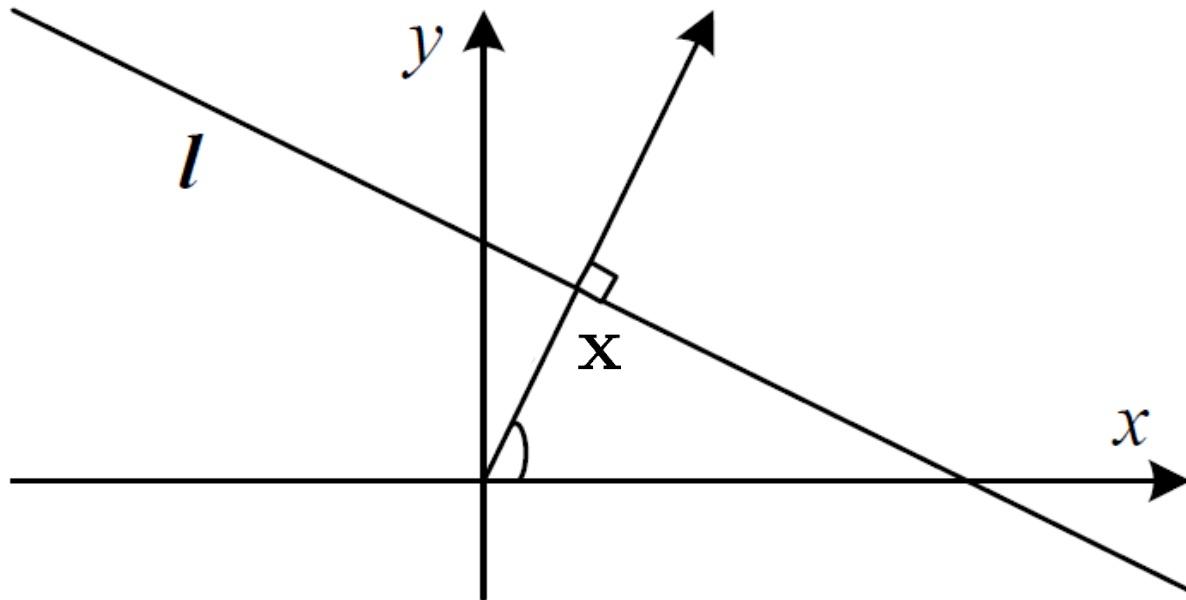
- Homogene Vektoren, die sich nur in der Skalierung unterscheiden, repräsentieren denselben 2D-Punkt
- Konvertierung in inhomogene Koordinaten über Division durch das letzte Element

$$\tilde{\mathbf{x}} = \begin{pmatrix} \tilde{x} \\ \tilde{y} \\ \tilde{w} \end{pmatrix} = \begin{pmatrix} \tilde{x}/\tilde{w} \\ \tilde{y}/\tilde{w} \\ 1 \end{pmatrix} = \tilde{w} \begin{pmatrix} x \\ y \\ 1 \end{pmatrix} = \tilde{w}\bar{\mathbf{x}}$$

- Punkte mit $\tilde{w} = 0$ werden als „ideale Punkte“ bezeichnet, sie liegen im Unendlichen und repräsentieren eine Richtung

Geometrische Primitive in 2D

- 2D Gerade $\tilde{\mathbf{l}} = (a, b, c)^\top$
- 2D Geradengleichung $\bar{\mathbf{x}} \cdot \tilde{\mathbf{l}} = ax + by + c = 0$

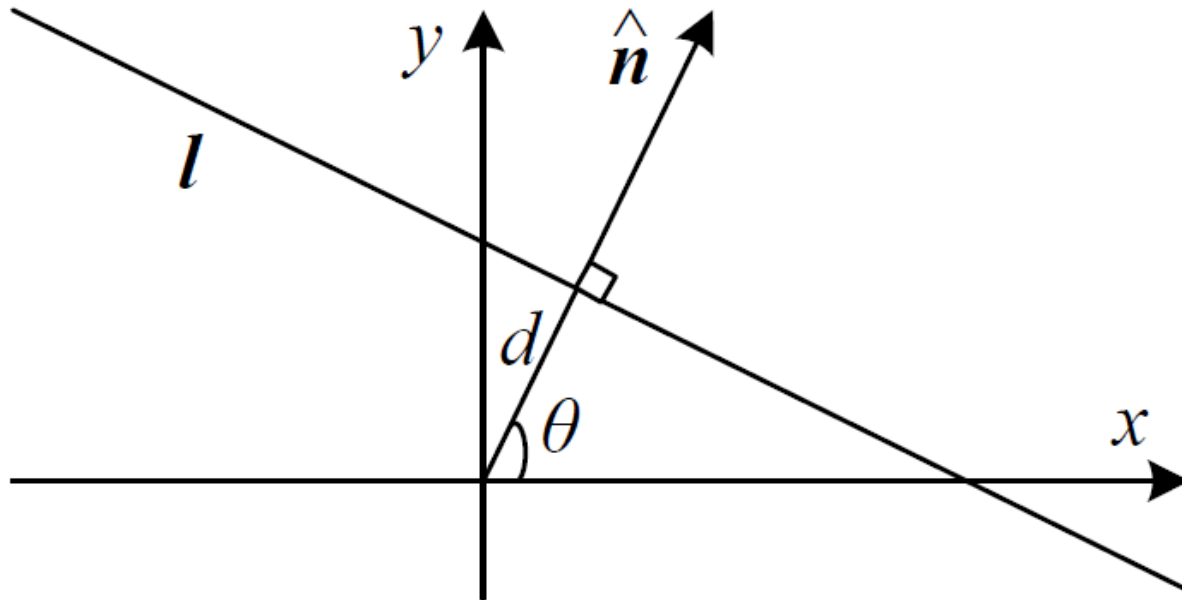


Geometrische Primitive in 2D

- Vektorielle Darstellung über die normierte Normale

$$\tilde{\mathbf{l}} = (\hat{n}_x, \hat{n}_y, d)^\top = (\hat{\mathbf{n}}, d)^\top \quad \text{with} \quad \|\hat{\mathbf{n}}\| = 1$$

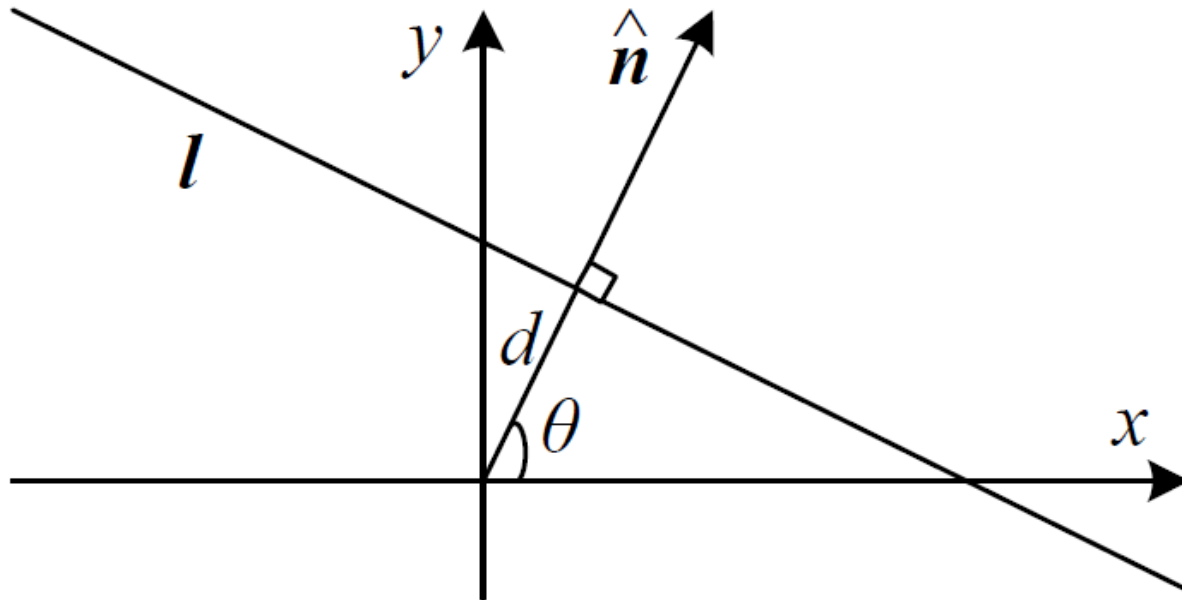
wobei d der Abstand der Gerade zum Ursprung ist



Geometrische Primitive in 2D

- Polarkoordinaten der Gerade: $(\theta, d)^\top$
(wird z.B. bei der Houghtransformation verwendet)

$$\hat{\mathbf{n}} = (\cos \theta, \sin \theta)^\top$$



Geometrische Primitive in 2D

- Gerade durch zwei Punkte

$$\tilde{\mathbf{l}} = \tilde{\mathbf{x}}_1 \times \tilde{\mathbf{x}}_2$$

- Schnittpunkt zweier Geraden

$$\tilde{\mathbf{x}} = \tilde{\mathbf{l}}_1 \times \tilde{\mathbf{l}}_2$$

Geometrische Primitive in 3D

- 3D-Punkt

$$\mathbf{x} = \begin{pmatrix} x \\ y \\ z \end{pmatrix} \in \mathbb{R}^3$$

- Augmentierter Vektor

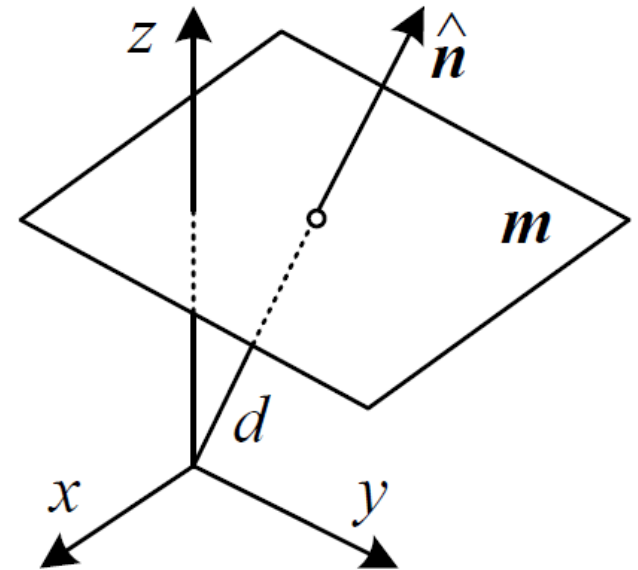
$$\bar{\mathbf{x}} = \begin{pmatrix} x \\ y \\ z \\ 1 \end{pmatrix} \in \mathbb{R}^4$$

- Homogene Koordinaten

$$\tilde{\mathbf{x}} = \begin{pmatrix} \tilde{x} \\ \tilde{y} \\ \tilde{z} \\ \tilde{w} \end{pmatrix} \in \mathbb{P}^3$$

Geometrische Primitive in 3D

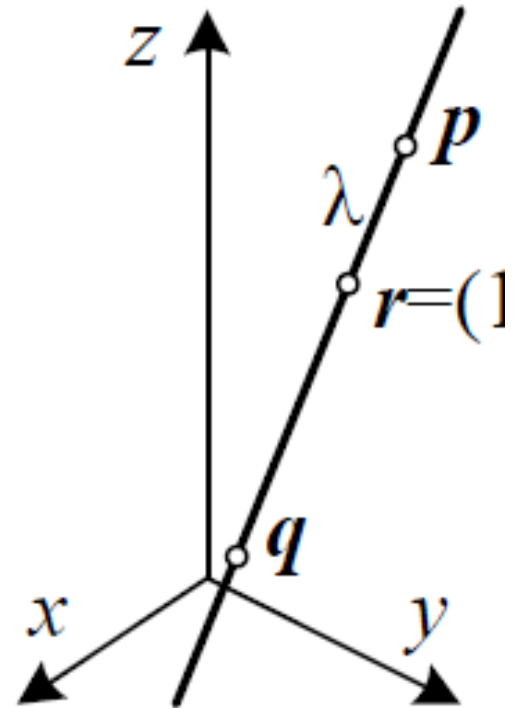
- 3D Ebene $\tilde{\mathbf{m}} = (a, b, c, d)^\top$
- 3D Ebenengleichung $\bar{\mathbf{x}} \cdot \tilde{\mathbf{m}} = ax + by + cz + d = 0$
- Normalisierte Ebene mit normalenvektor
 $\mathbf{m} = (\hat{n}_x, \hat{n}_y, \hat{n}_z, d)^\top = (\hat{\mathbf{n}}, d)$
($\|\hat{\mathbf{n}}\| = 1$)
und Abstand d



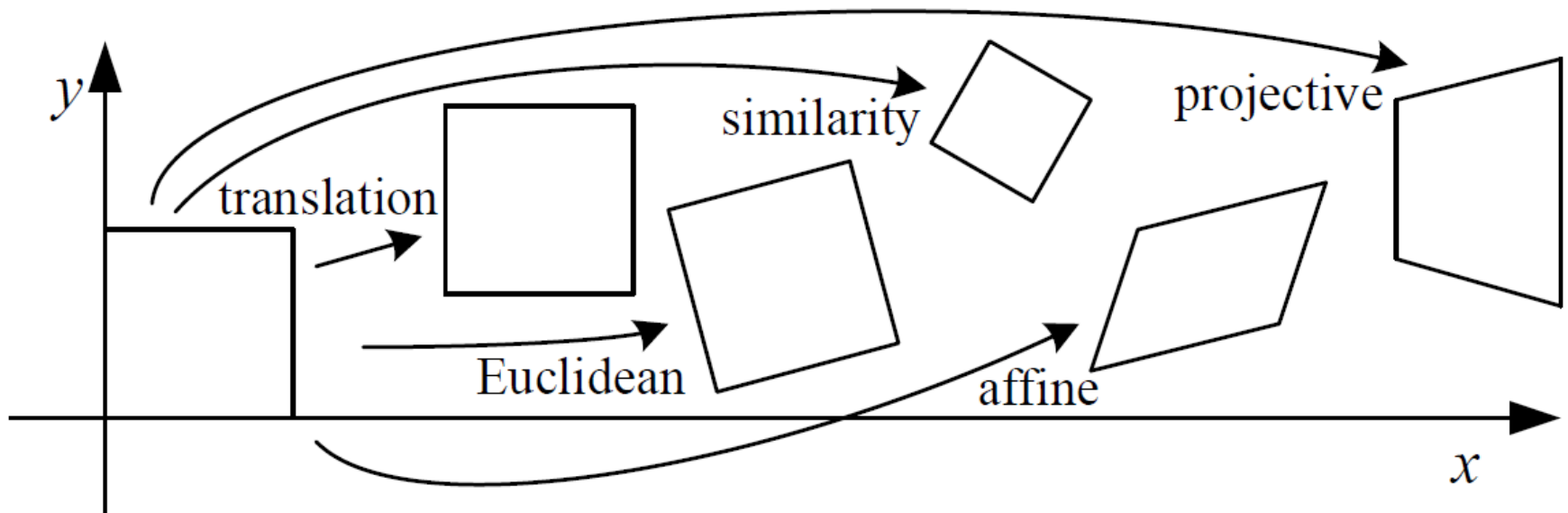
Geometrische Primitive in 3D

- 3D Gerade $\mathbf{r} = (1 - \lambda)\mathbf{p} + \lambda\mathbf{q}$
durch die Punkte \mathbf{p}, \mathbf{q}
- Unendliche Gerade: $\lambda \in \mathbb{R}$
- Geradenstück zwischen \mathbf{p}, \mathbf{q} :

$$0 \leq \lambda \leq 1$$



Planare Transformationen in 2D



2D-Transformationen

- Translation

$$\mathbf{x}' = \mathbf{x} + \mathbf{t}$$

$$\mathbf{x}' = \underbrace{\begin{pmatrix} \mathbf{I} & \mathbf{t} \end{pmatrix}}_{2 \times 3} \bar{\mathbf{x}}$$

$$\bar{\mathbf{x}}' = \underbrace{\begin{pmatrix} \mathbf{I} & \mathbf{t} \\ \mathbf{0}^\top & 1 \end{pmatrix}}_{3 \times 3} \bar{\mathbf{x}}$$

wobei $\mathbf{t} \in \mathbb{R}^2$ Translationsvektor, und \mathbf{I} die Einheitsmatrix ist. $\mathbf{0}$ ist der Nullvektor

2D-Transformationen

- Translation

$$\mathbf{x}' = \mathbf{x} + \mathbf{t}$$

$$\mathbf{x}' = \underbrace{\begin{pmatrix} \mathbf{I} & \mathbf{t} \end{pmatrix}}_{2 \times 3} \bar{\mathbf{x}}$$

$$\bar{\mathbf{x}}' = \underbrace{\begin{pmatrix} \mathbf{I} & \mathbf{t} \\ \mathbf{0}^\top & 1 \end{pmatrix}}_{3 \times 3} \bar{\mathbf{x}}$$

Frage: Wieviele
Freiheitsgrade hat
diese Transformation?

wobei $\mathbf{t} \in \mathbb{R}^2$ Translationsvektor, und
 \mathbf{I} die Einheitsmatrix ist. $\mathbf{0}$ ist der Nullvektor

2D-Transformationen

- Strarre Bewegung or Euklidische Transformation (Rotation + Translation)

$$\mathbf{x}' = \mathbf{R}\mathbf{x} + \mathbf{t} \quad \text{bzw.} \quad \bar{\mathbf{x}}' = \begin{pmatrix} \mathbf{R} & \mathbf{t} \\ \mathbf{0}^\top & 1 \end{pmatrix} \bar{\mathbf{x}}$$

wobei $\mathbf{R} = \begin{pmatrix} \cos \theta & -\sin \theta \\ \sin \theta & \cos \theta \end{pmatrix}$

die orthonormale Rotationsmatrix ist, d.h. $\mathbf{R}\mathbf{R}^\top = \mathbf{I}$

- Abstände **und** Winkel bleiben erhalten

2D-Transformationen

- Ähnlichkeitstransformation (Skalierung, Rotation und Verschiebung)

$$\mathbf{x}' = s\mathbf{R}\mathbf{x} + t$$

or

$$\bar{\mathbf{x}}' = \begin{pmatrix} s\mathbf{R} & \mathbf{t} \\ \mathbf{0}^\top & 1 \end{pmatrix} \bar{\mathbf{x}}$$

- Winkel zwischen Geraden bleiben erhalten

2D-Transformationen

- Affine Transformation

$$\bar{\mathbf{x}}' = A\bar{\mathbf{x}} = \begin{pmatrix} a_{11} & a_{12} & a_{13} \\ a_{21} & a_{22} & a_{23} \\ 0 & 0 & 1 \end{pmatrix} \bar{\mathbf{x}}$$

- Parallele Geraden bleiben parallel


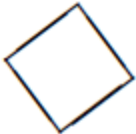
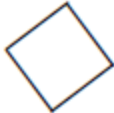


2D-Transformationen

- Projektive/perspektivische Transformation

$$\tilde{\mathbf{x}}' = \tilde{H} = \begin{pmatrix} a_{11} & a_{12} & a_{13} \\ a_{21} & a_{22} & a_{23} \\ a_{31} & a_{32} & a_{33} \end{pmatrix} \tilde{\mathbf{x}}$$

- Beachte \tilde{H} ist homogen (only defined up to scale)
- Resultierende Koordinaten sind homogen
- Geraden bleiben Geraden, immerhin.... ;-)

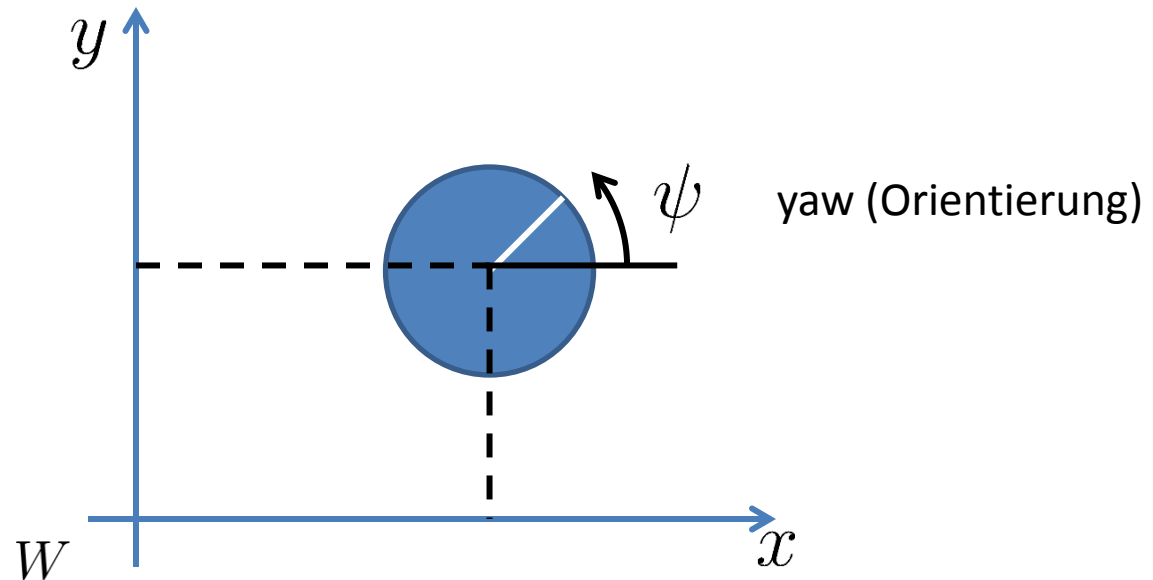
2D-Transformationen

Transformation	Matrix	# DoF	Preserves	Icon
translation	$\begin{bmatrix} \mathbf{I} & \mathbf{t} \end{bmatrix}_{2 \times 3}$	2	orientation	
rigid (Euclidean)	$\begin{bmatrix} \mathbf{R} & \mathbf{t} \end{bmatrix}_{2 \times 3}$	3	lengths	
similarity	$\begin{bmatrix} s\mathbf{R} & \mathbf{t} \end{bmatrix}_{2 \times 3}$	4	angles	
affine	$\begin{bmatrix} \mathbf{A} \end{bmatrix}_{2 \times 3}$	6	parallelism	
projective	$\begin{bmatrix} \tilde{\mathbf{H}} \end{bmatrix}_{3 \times 3}$	8	straight lines	

BEISPIEL: VERWENDUNG EUKLIDISCHER TRANSFORMATIONEN IN DER ROBOTIK

Koordinatensysteme

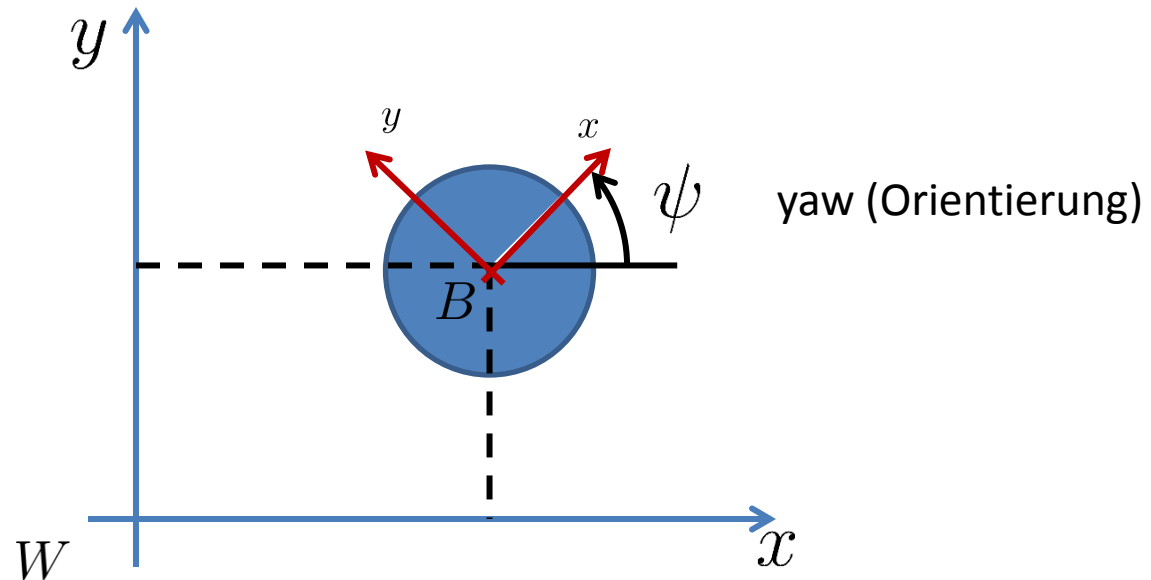
- Ein Roboter irgendwo in der Ebene



Koordinatensysteme

- Ein Roboter irgendwo in der Ebene

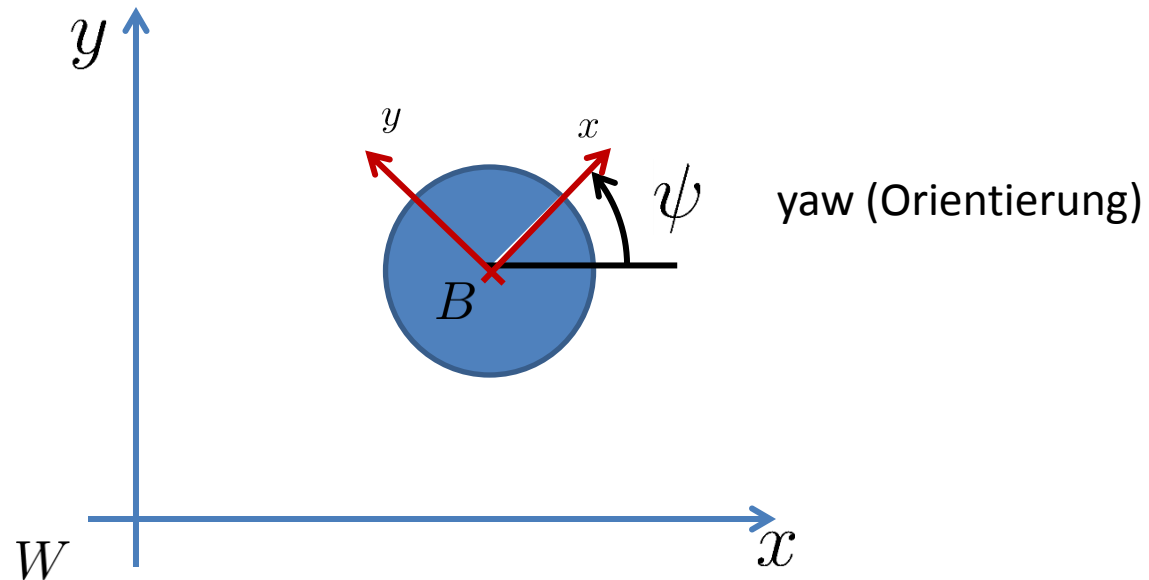
$${}^W T_B = \begin{pmatrix} R & \mathbf{t} \\ \mathbf{0} & 1 \end{pmatrix} = \begin{pmatrix} \cos \psi & -\sin \psi & x \\ \sin \psi & \cos \psi & y \\ 0 & 0 & 1 \end{pmatrix} \in \text{SE}(2) \subset \mathbb{R}^{3 \times 3}$$



Koordinatensysteme

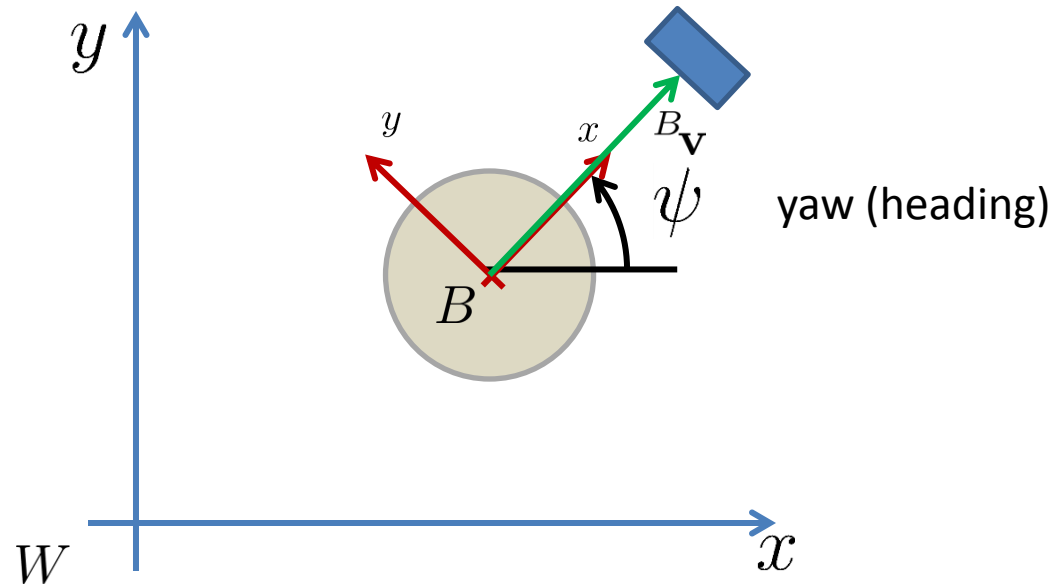
- Roboter an der Stelle $x=0.7, y=0.5, \text{yaw}=45\text{deg}$

$${}^W T_B = \begin{pmatrix} \cos 45 & -\sin 45 & 0.7 \\ \sin 45 & \cos 45 & 0.5 \\ 0 & 0 & 1 \end{pmatrix} = \begin{pmatrix} 0.71 & -0.71 & 0.7 \\ 0.71 & 0.71 & 0.5 \\ 0 & 0 & 1 \end{pmatrix}$$



Koordinatentransformation

- Roboter an der Stelle $x=0.7$, $y=0.5$, $\text{yaw}=45^\circ$
- Roboter hat einen Sensorausleger von 1m Länge
- Was ist die Position des Sensors in W -Koordinaten?



Koordinatentransformation

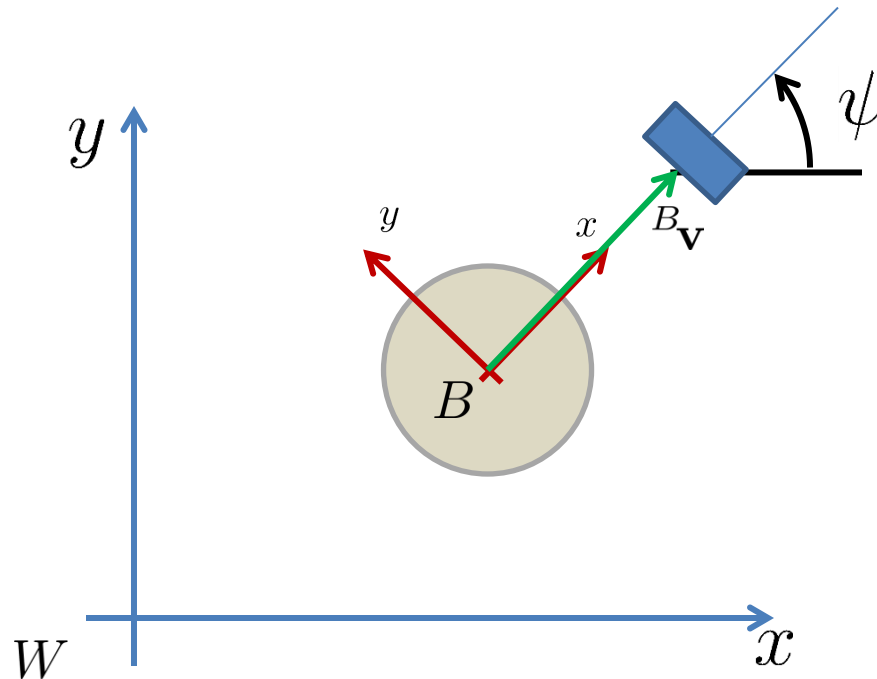
- Roboter an der Stelle $x=0.7$, $y=0.5$, $\text{yaw}=45^\circ$
- Roboter hat einen Sensorausleger von 1m Länge

Inhomogene Koordinaten

$$B_{\mathbf{V}} = \begin{pmatrix} 1 \\ 0 \end{pmatrix}$$

Homogene Koordinaten

$$B_{\tilde{\mathbf{V}}} = \begin{pmatrix} 1 \\ 0 \\ 1 \end{pmatrix}$$



Koordinatentransformation

- Roboter an der Stelle $x=0.7$, $y=0.5$, $\text{yaw}=45\text{deg}$
- Roboter detektiert Objekt 1m voraus

$${}^W\tilde{\mathbf{v}} = {}^WT_B {}^B\tilde{\mathbf{v}}$$

Koordinatentransformation

- Roboter an der Stelle $x=0.7$, $y=0.5$, $\text{yaw}=45^\circ$
- Roboter hat einen Sensorausleger von 1m Länge

$$\begin{aligned} {}^W\tilde{\mathbf{v}} &= {}^WT_B {}^B\tilde{\mathbf{v}} \\ &= \begin{pmatrix} 0.71 & -0.71 & 0.7 \\ 0.71 & 0.71 & 0.5 \\ 0 & 0 & 1 \end{pmatrix} \begin{pmatrix} 1 \\ 0 \\ 1 \end{pmatrix} \end{aligned}$$

Koordinatentransformation

- Roboter an der Stelle $x=0.7$, $y=0.5$, $\text{yaw}=45^\circ$
- Roboter hat einen Sensorausleger von 1m Länge

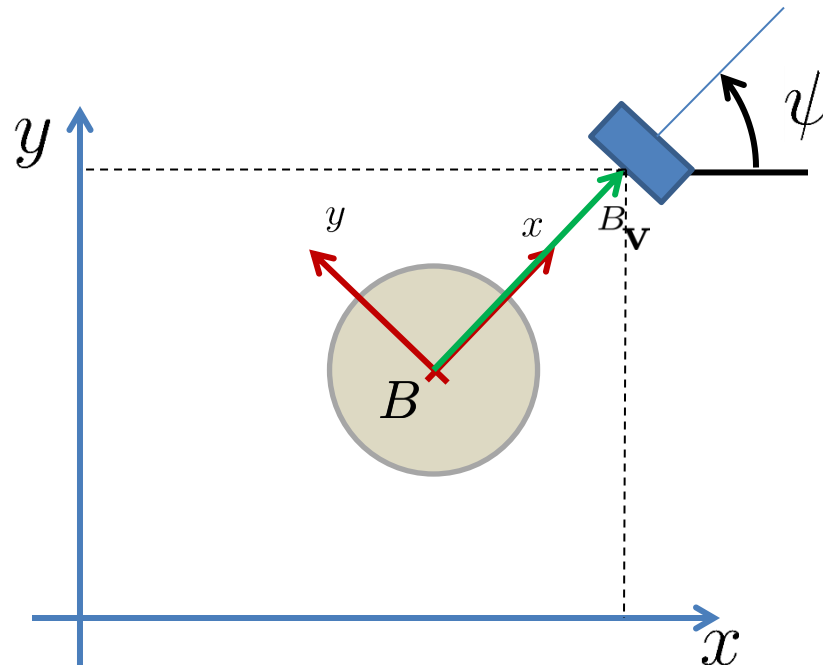
$$\begin{aligned} {}^W\tilde{\mathbf{v}} &= {}^WT_B {}^B\tilde{\mathbf{v}} \\ &= \begin{pmatrix} 0.71 & -0.71 & 0.7 \\ 0.71 & 0.71 & 0.5 \\ 0 & 0 & 1 \end{pmatrix} \begin{pmatrix} 1 \\ 0 \\ 1 \end{pmatrix} \\ &= \begin{pmatrix} 1.41 \\ 1.21 \\ 1 \end{pmatrix} \end{aligned}$$

Koordinatenransformation

- Roboter an der Stelle $x=0.7$, $y=0.5$, $\text{yaw}=45^\circ$
- Roboter hat einen Sensorausleger von 1m Länge

$${}^B\tilde{\mathbf{v}} = \begin{pmatrix} 1 \\ 0 \\ 1 \end{pmatrix}$$

$${}^W\tilde{\mathbf{v}} = \begin{pmatrix} 1.41 \\ 1.21 \\ 1 \end{pmatrix}$$



Inverse Transformation

- Wir haben Roboter- in Weltkoordinaten transformiert
- Manchmal muss man das Umgekehrte tun
- Wie transformiert man Welt- in Roboterkoordinaten?

$${}^W\tilde{\mathbf{v}} = {}^WT_B {}^B\tilde{\mathbf{v}}$$

Inverse Transformation

- Wir haben Roboter- in Weltkoordinaten transformiert
- Manchmal muss man das Umgekehrte tun
- Wie transformiert man Welt- in Roboterkoordinaten?

$${}^W\tilde{\mathbf{v}} = {}^WT_B {}^B\tilde{\mathbf{v}}$$

$${}^B\tilde{\mathbf{v}} = {}^BT_W {}^W\tilde{\mathbf{v}}$$

Inverse Transformation

- Wir haben Roboter- in Weltkoordinaten transformiert
- Manchmal muss man das Umgekehrte tun
- Wie transformiert man Welt- in Roboterkoordinaten?

$${}^W\tilde{\mathbf{v}} = {}^WT_B {}^B\tilde{\mathbf{v}}$$

$${}^B\tilde{\mathbf{v}} = {}^BT_W {}^W\tilde{\mathbf{v}}$$

$${}^B\tilde{\mathbf{v}} = \left({}^WT_B\right)^{-1} {}^W\tilde{\mathbf{v}}$$

Inverse Transformation

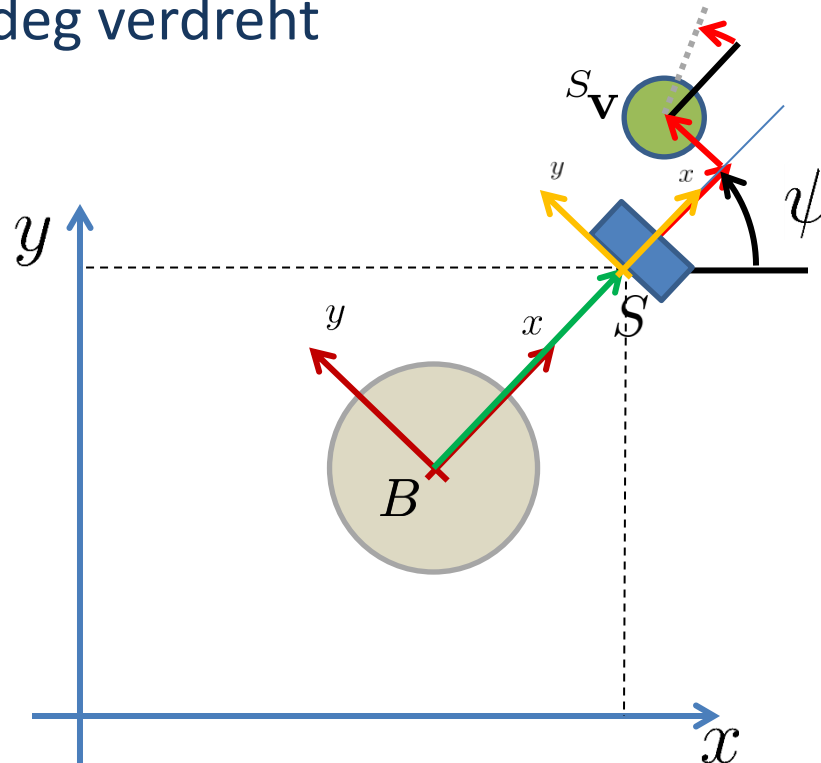
- Wir haben Roboter- in Weltkoordinaten transformiert
- Manchmal muss man das Umgekehrte tun
- Wie transformiert man Welt- in Roboterkoordinaten?

$${}^W\tilde{\mathbf{v}} = {}^WT_B {}^B\tilde{\mathbf{v}} = \begin{pmatrix} R & \mathbf{t} \\ \mathbf{0} & 1 \end{pmatrix} {}^B\tilde{\mathbf{v}}$$

$${}^B\tilde{\mathbf{v}} = ({}^WT_B)^{-1} {}^W\tilde{\mathbf{v}} = \begin{pmatrix} R^\top & -R^\top \mathbf{t} \\ \mathbf{0} & 1 \end{pmatrix} {}^W\tilde{\mathbf{v}}$$

Verkettung von Transformationen

- Gegeben: Objekt wird von Sensor gesehen
 - Position relativ zum Sensor: 0.2m in x-Richtung, 0.1m in y-Richtung, 10deg verdreht



Verkettung von Transformationen

- Position relativ zum Sensor:
0.2m in x-Richtung, 0.1m in y-Richtung, 10deg
verdreht

$${}^B T_S = \begin{pmatrix} \cos 10 & -\sin 10 & 0.2 \\ \sin 10 & \cos 10 & 0.1 \\ 0 & 0 & 1 \end{pmatrix} = \begin{pmatrix} 0.98 & -0.17 & 0.2 \\ 0.17 & 0.98 & 0.1 \\ 0 & 0 & 1 \end{pmatrix}$$

Verkettung von Transformationen

- Die Position des Objekts in W-Koordinaten?

$$\begin{aligned} {}^W T_S &= {}^W T_B {}^B T_S = \\ &= \begin{pmatrix} 0.71 & -0.71 & 0.7 \\ 0.71 & 0.71 & 0.5 \\ 0 & 0 & 1 \end{pmatrix} \begin{pmatrix} 0.98 & -0.17 & 0.2 \\ 0.17 & 0.98 & 0.1 \\ 0 & 0 & 1 \end{pmatrix} = \dots \end{aligned}$$

Verkettung von Transformationen

Beachte: Auf die Reihenfolge kommt es an!!!

- 1m gehen, 90 Grad drehen
- 90 Grad drehen, 1m gehen

$$AB \neq BA$$

3D-Transformationen

- Translation


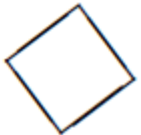
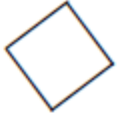

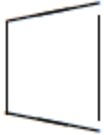
$$\bar{\mathbf{x}}' = \underbrace{\begin{pmatrix} \mathbf{I} & \mathbf{t} \\ \mathbf{0}^\top & 1 \end{pmatrix}}_{4 \times 4} \bar{\mathbf{x}}$$

- Euklidische Transformation (Translation + Rotation),

$$\bar{\mathbf{x}}' = \begin{pmatrix} \mathbf{R} & \mathbf{t} \\ \mathbf{0}^\top & 1 \end{pmatrix} \bar{\mathbf{x}}$$

- Ähnlichkeitstransformation, Affine Transformation, ...

3D-Transformationen

Transformation	Matrix	# DoF	Preserves	Icon
translation	$\left[\begin{array}{c c} \mathbf{I} & \mathbf{t} \end{array} \right]_{3 \times 4}$	3	orientation	
rigid (Euclidean)	$\left[\begin{array}{c c} \mathbf{R} & \mathbf{t} \end{array} \right]_{3 \times 4}$	6	lengths	
similarity	$\left[\begin{array}{c c} s\mathbf{R} & \mathbf{t} \end{array} \right]_{3 \times 4}$	7	angles	
affine	$\left[\begin{array}{c} \mathbf{A} \end{array} \right]_{3 \times 4}$	12	parallelism	
projective	$\left[\begin{array}{c} \tilde{\mathbf{H}} \end{array} \right]_{4 \times 4}$	15	straight lines	

Euklidische Transformation in 3D

- Translation \mathbf{t} hat 3 Freiheitsgrade
- Rotation R hat 3 Freiheitsgrade

$$X = \begin{pmatrix} R & \mathbf{t} \\ \mathbf{0} & 1 \end{pmatrix} = \begin{pmatrix} r_{11} & r_{12} & r_{13} & t_1 \\ r_{21} & r_{22} & r_{23} & t_2 \\ r_{31} & r_{32} & r_{33} & t_3 \\ 0 & 0 & 0 & 1 \end{pmatrix}$$

3D-Rotationen

- Rotationsmatrix
- Euler-Winkel
- Rodriguez-Darstellung (Drehachse / Winkel)
- Einheitsquaternionen

Rotationsmatrix

- Orthonormale 3x3 Matrix

$$R = \begin{pmatrix} r_{11} & r_{12} & r_{13} \\ r_{21} & r_{22} & r_{23} \\ r_{31} & r_{32} & r_{33} \end{pmatrix}$$

- Spaltenvektoren entsprechen den Koordinatenachsen

Rotationsmatrix

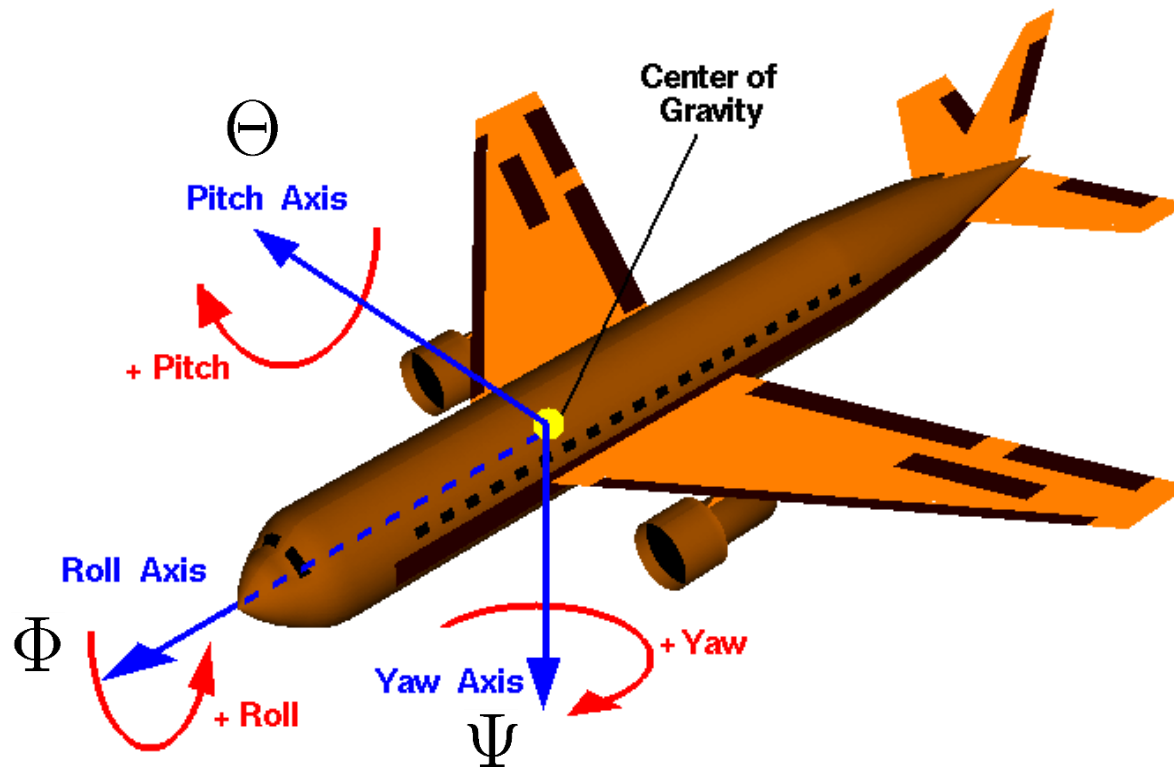
- Orthonormale 3x3 Matrix

$$R = \begin{pmatrix} r_{11} & r_{12} & r_{13} \\ r_{21} & r_{22} & r_{23} \\ r_{31} & r_{32} & r_{33} \end{pmatrix}$$

- Vorteil: Einfache Verkettung
- Nachteil: Überparametrisiert (9 Parameter statt 3)

Euler-Winkel

- Rotation durch Verkettung von 3 Achsrotationen (z.B., um X-Y-Z Achsen)
- Aus der Luftfahrt: Roll-Pitch-Yaw Konvention



Roll-Pitch-Yaw Konvention

- Yaw Ψ , Pitch Θ , Roll Φ in Rotationsmatrix umrechnen

$$\begin{aligned}
 R &= R_Z(\Psi)R_Y(\Theta)R_X(\Phi) \\
 &= \begin{pmatrix} 1 & 0 & 0 \\ 0 & \cos \Phi & \sin \Phi \\ 0 & -\sin \Phi & \cos \Phi \end{pmatrix} \begin{pmatrix} \cos \Theta & 0 & -\sin \Theta \\ 0 & 1 & 0 \\ \sin \Theta & 0 & \cos \Theta \end{pmatrix} \begin{pmatrix} \cos \Psi & \sin \Psi & 0 \\ -\sin \Psi & \cos \Psi & 0 \\ 0 & 0 & 1 \end{pmatrix} \\
 &= \begin{pmatrix} \cos \Theta \cos \Psi & \cos \Theta \sin \Psi & -\sin \Theta \\ \sin \Phi \sin \Theta \cos \Psi - \cos \Phi \sin \Psi & \sin \Phi \sin \Theta \sin \Psi + \cos \Phi \cos \Psi & \sin \Phi \cos \Theta \\ \cos \Phi \sin \Theta \cos \Psi + \sin \Phi \sin \Psi & \cos \Phi \sin \Theta \sin \Psi - \sin \Phi \cos \Psi & \cos \Phi \cos \Theta \end{pmatrix}
 \end{aligned}$$

- Rotationsmatrix nach Yaw-Pitch-Roll

$$\phi = \text{Atan2} \left(-r_{31}, \sqrt{r_{11}^2 + r_{21}^2} \right)$$

$$\psi = -\text{Atan2} \left(\frac{r_{21}}{\cos(\phi)}, \frac{r_{11}}{\cos(\phi)} \right)$$

$$\theta = \text{Atan2} \left(\frac{r_{32}}{\cos(\phi)}, \frac{r_{33}}{\cos(\phi)} \right)$$

Euler-Winkel

- Vorteil:
 - Minimale Repräsentation (3 Parameter)
 - “Einfach” interpretierbar
- Nachteile:
 - Es gibt viele “alternative” Euler-Winkel-Darstellungen (XYZ, ZXZ, ZYX, ...)
 - Schwierig zu Verketteten
 - Singularitäten (sog. “gimbal lock”)

Euler-Winkel

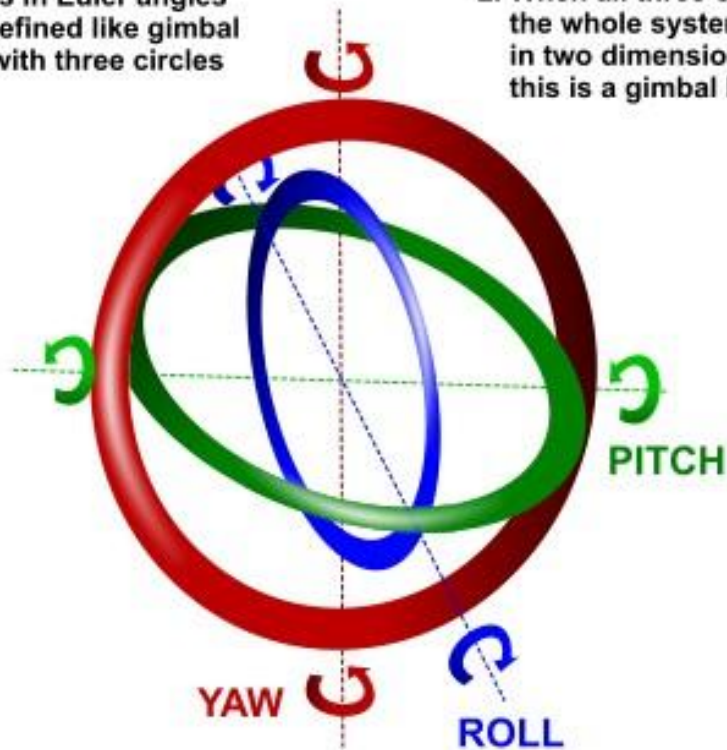
- Verkettung: Konversion in Rotationsmatrix, Multiplikation, Re-Konversion
- Invertierung: Konversion in Rotationsmatrix, Matrixinversion, Re-Konversion

$$R_Z(\psi_1)R_Y(\theta_1)R_X(\phi_1) \cdot R_Z(\psi_2)R_Y(\theta_2)R_X(\phi_2) \\ \neq R_Z(\psi_1 + \psi_2)R_Y(\theta_1 + \theta_2)R_X(\phi_1 + \phi_2)$$

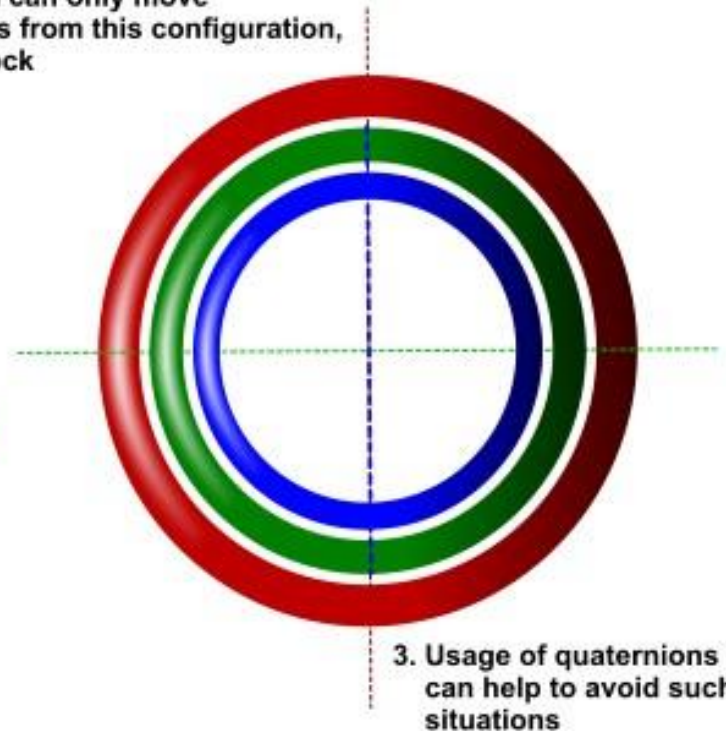
Singularitäten

- Verlust eines Freiheitsgrades

1. Rotations in Euler angles can be defined like gimbal system with three circles



2. When all three circles are lined up, the whole system can only move in two dimensions from this configuration, this is a gimbal lock

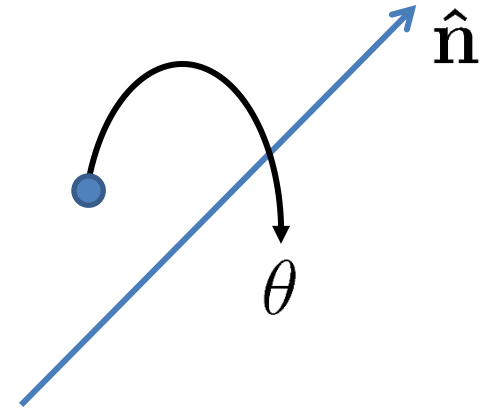


3. Usage of quaternions can help to avoid such situations

Rodriguez-Darstellung

(Drehachse / Winkel)

- Representiert Rotation durch
 - Drehachse $\hat{\mathbf{n}}$ und
 - Drehwinkel θ
- 4 Parameter $(\hat{\mathbf{n}}, \theta)$
- 3 Parameter $\boldsymbol{\omega} = \theta \hat{\mathbf{n}}$
 - Länge kodiert Winkel
 - Minimal aber nicht eindeutig (Warum?)



Konversion

- Rodriguez-Formel

$$R(\hat{\mathbf{n}}, \theta) = I + \sin \theta [\hat{\mathbf{n}}]_{\times} + (1 - \cos \theta) [\hat{\mathbf{n}}]_{\times}^2$$

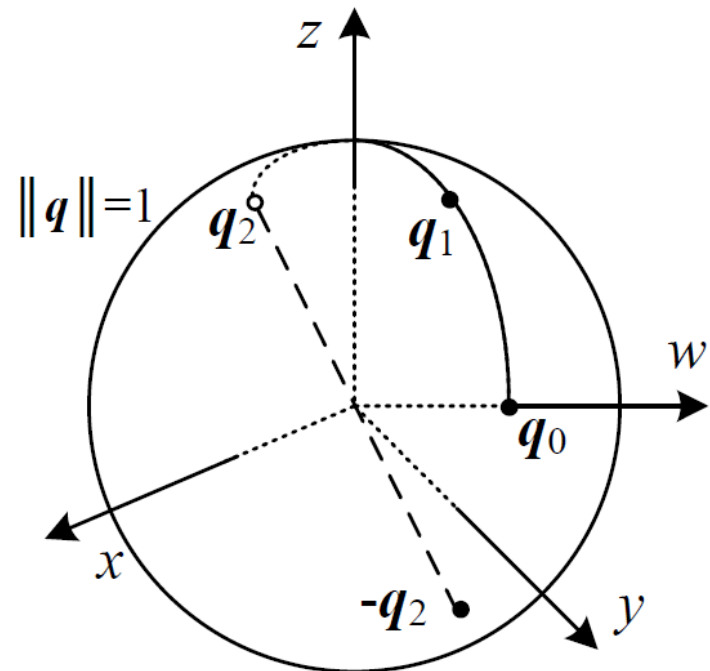
- Inverse

$$\theta = \cos^{-1} \left(\frac{\text{trace}(R) - 1}{2} \right), \hat{\mathbf{n}} = \frac{1}{2 \sin \theta} \begin{pmatrix} r_{32} - r_{23} \\ r_{13} - r_{31} \\ r_{21} - r_{12} \end{pmatrix}$$

- see: An Invitation to 3D Vision, Y. Ma, S. Soatto, J. Kosecka, S. Sastry, Chapter 2 (available online)

Einheitsquaternionen

- Quaternion $\mathbf{q} = (q_x, q_y, q_z, q_w)^\top \in \mathbb{R}^4$
- Einheitsquaternionen $\|\mathbf{q}\| = 1$
- Entgegengesetzte Quaternionen repräsentieren dieselbe Rotation $\mathbf{q} = -\mathbf{q}$
- Ansonsten eindeutig



Einheitsquaternionen

- Vorteil: Operationen für Multiplikation und Inversion sind effizient
- Quaternion-Quaternion Multiplikation

$$\begin{aligned}\mathbf{q}_0 \mathbf{q}_1 &= (\mathbf{v}_0, w_0)(\mathbf{v}_1, w_1) \\ &= (\mathbf{v}_0 \times \mathbf{v}_1 + w_0 \mathbf{v}_1 + w_1 \mathbf{v}_0, w_0 w_1 - \mathbf{v}_0 \mathbf{v}_1)\end{aligned}$$

- Inverse (Vorzeichenwechsel bei v oder w)

$$\begin{aligned}\mathbf{q}^{-1} &= (\mathbf{v}, w)^{-1} \\ &= (\mathbf{v}, -w)\end{aligned}$$

Einheitsquaternionen

- Quaternion-Vektor Multiplikation (rotiert Punkt p mit Rotation q)

$$\mathbf{p}' = \mathbf{v}\bar{\mathbf{p}}\mathbf{q}^{-1}$$

mit $\bar{\mathbf{p}} = (x, y, z, 0)^\top$

- Beziehung zu Rodriguez-Darstellung

$$\mathbf{q} = (\mathbf{v}, w) = \left(\sin \frac{\theta}{2} \hat{\mathbf{n}}, \cos \frac{\theta}{2} \right)$$

3D Orientierung im Allgemeinen

- **Beachte:** “Lesen von Rotationen” im Allgemeinen schwierig, egal in welcher Darstellung
- **Beobachtung:** Rotationen sind einfach zu visualisieren und dann intuitiv verständlich
- **Rat:** Zum debuggen immer visualisieren!! Es gibt viele gute 3D Visualisierungstools

C++ Libraries für Lin. Alg./Geometry

- Es gibt viele C/C++ libraries für lineare Algebra und 3D- Geometry
- Beispiele:
 - C arrays, `std::vector` (no linear alg. functions)
 - gsl (gnu scientific library, umfangreich, plain C)
 - `boost::array` (ROS messages)
 - Bullet library (3D-Geometry und Dynamik, ROS tf)
 - Eigen (Sowohl lineare Algebra als auch Geometry, guter Tipp)